

06.2

ОСОБЕННОСТИ НАПРЯЖЕННЫХ СВЕРХРЕШЕТОК  
 $Ge - Ge_{1-x}Si_x$  С СЕЛЕКТИВНО  
 ЛЕГИРОВАННЫМИ СЛОЯМИ

Л.К. Орлов, О.А. Кузнецов,  
 Р.А. Рубцова

В последние годы повышенный интерес вызывают напряженные сверхрешетки (СР) на основе  $Si$ ,  $Ge$  и их твердых растворов, использование которых в микроэлектронике расширяет возможности традиционной кремниевой технологии. Указанные структуры обладают промежуточными между  $Si$  и  $Ge$  оптическими свойствами, но в отличие от однородных твердых растворов имеют улучшенные, а зачастую и своеобразные электрические характеристики. Особый интерес при этом представляют периодические структуры с селективно легированными слоями, которым свойственны высокие значения подвижностей свободных носителей заряда при повышенной плотности их в каналах СР [1].

В настоящем сообщении впервые приводятся результаты исследования селективно-легированных гетероэпитаксиальных СР  $Ge - Ge_{1-x}Si_x$  дырочного типа проводимости. СР выращивались газовым гидридным методом на  $Ge$  подложках, либо буферных слоях  $Ge_{1-y}Si_y$ . Слои  $Ge_{1-x}Si_x$  в них легировались бором. Селективное вхождение примеси в слой твердого раствора СР подтверждено непосредственно методом ионной масс-спектрометрии и косвенно по эффекту увеличения подвижности дырок.

Важнейшими параметрами электронно-дырочной подсистемы СР являются величины энергий, соответствующие положениям краев энергетических зон в соседних слоях структуры. Расчет зонных диаграмм в сильно напряженных СР  $Ge - Ge_{1-x}Si_x$  в отсутствие эффекта размерного квантования проведен, используя известные формулы, описывающие связь между сдвигом и расщеплением подзон и упругими деформациями системы. Сводка указанных формул в общем виде содержится, например, в [2]. Зонные энергетические диаграммы для двух случаев (СР  $Ge - Ge_{1-x}Si_x$  выращена на  $Ge$ -подложке и буферном слое  $Ge_{1-x}Si_x$ ) в отсутствие пластической деформации в структуре приведены в [3], где, в частности, показано, что буфер может играть важную роль, позволяя управлять амплитудой потенциала в структуре.

В СР, выращенных непосредственно на  $Ge$ -подложках и имеющих общую толщину меньше критической (пластическая деформация в структуре отсутствует), слои  $Ge$  в отличие от слоев  $Ge_{1-x}Si_x$  практически не напряжены. В СР, толщина которых больше критической (на границе СР/ $Ge$ -подложка появляется сетка дислокаций несоответствия), слои  $Ge$ , наряду со слоями твердого раствора,

подвержены деформации, что приводит к изменению симметрии кристаллической решетки и, как следствие, к сдвигу и расщеплению краев энергетических подзон. Эффект в слоях  $Ge$  усиливается при введении буферного подслоя, ослабляющего влияние подложки на СР.

В качестве примера на рис. 1 (а, б) приведены зонные энергетические диаграммы, рассчитанные для СР  $Ge - Ge_{1-x}Si_x$ , имеющих среднее содержание  $Si$  (ат. %)=8.5 (а); 10 (б) при максимальном содержании  $Si$  в слоях  $Ge_{1-x}Si_x$  (ат. %)  $\approx 14$  (а); 17 (б); периоды  $d$  (нм)  $\approx 19$  (а); 24 (б); число периодов  $N=90$  и упругое воздействие подложки на СР  $\xi$  (%)=28(а); 19(б). Параметры  $x$ ,  $\bar{x}$ ,  $\xi$  и  $d$  устанавливались с помощью рентгено-дифракционного анализа. В случае „а“ СР выращивалась непосредственно на  $Ge$ -подложке, в случае „б“ – на буферном подслое  $Ge_{1-\bar{x}}Si_{\bar{x}}$  толщиной  $\sim 1.7$  мкм. Согласно проведенным оценкам, характерные значения энергий (в эВ) для слоев  $Ge$  и  $Ge_{1-x}Si_x$  соответственно равны: ширина запрещенной зоны  $E_{g1}=0.49$ (а), 0.485 (б);  $E_{g2}=0.86$  (а), 0.79 (б); энергия расщепления дырочных подзон  $\delta E_{V1}^{lh}=-0.034$  (а), -0.044 (б);  $\delta E_{V2}^{lh}=0.049$  (а), 0.059(б); энергия спин-орбитального расщепления  $\delta E_{V1}^{zs}=0.267$ (а), 0.265(б);  $\delta E_{V2}^{zs}=0.27$ (а), 0.276(б); энергия междолинного расщепления  $\delta E_{c1}^{2-6}=0.087$  (а), 0.116(б);  $\delta E_{c2}^{2-6}=-0.109$ (а), -0.128 (б).

Упругая деформация слоев системы (компоненты тензора деформаций в рассматриваемых случаях равны  $\varepsilon_{11}=-0.00245$ (а), -0.003(б);  $\varepsilon_{11,2}=0.00306$ (а), 0.0043(б);  $\varepsilon_{1,1}=0.0036$ (а), 0.0044(б);  $\varepsilon_{1,2}=-0.0045$ (а), -0.0063 (б)) существенным образом меняет характер оптических спектров, обуславливая, в частности, сдвиг и расщепление спектральных линий. Спектры электроотражения света, снятые от поверхности указанных выше структур по известной электролитической методике при комнатной температуре в ближней ИК-области, представлены на рис. 1. Здесь же для сравнения (рис. 1, в) приведена спектральная кривая, полученная от гомогенной  $p-i-p$ -СР с параметрами:  $d_p=8$  нм,  $d_i=16$  нм,  $N=50$ ,  $\rho \sim 4 \cdot 10^{17}$  см $^{-3}$ . Стрелками на рисунках указаны характерные энергии электронных переходов в слоях СР с учетом рассчитанных выше расщеплений подзон, что позволяет сопоставить с ними резонансные пики, наблюдаемые на спектральных зависимостях. Сравнение кривых на рис. 1 (а-в) показывает, что в СР имеет место значительный сдвиг оптической ширины запрещенной зоны структуры в коротковолновую область спектра. Число пиков в спектре электроотражения света от поверхности гетероструктуры „а“, „б“, кроме того, значительно возрастает по сравнению с гомосистемой „в“, что связано с наложением спектров от двух типов напряженных слоев ( $Ge$  и  $Ge_{1-x}Si_x$ ) и расщеплением дырочных подзон. Смещение и расщепление пиков в структуре „а“ по сравнению со структурой „в“ указывает на деформацию слоев  $Ge$  относительно подложки, что имеет место при появлении на границе СР/подложка сетки дислокаций, снимающей частично упругое воздействие подложки на СР. Возникающая сетка дислокаций, расположенная в  $Ge$ -подложке, наблюдалась на рентгеновских топограммах и непосред-

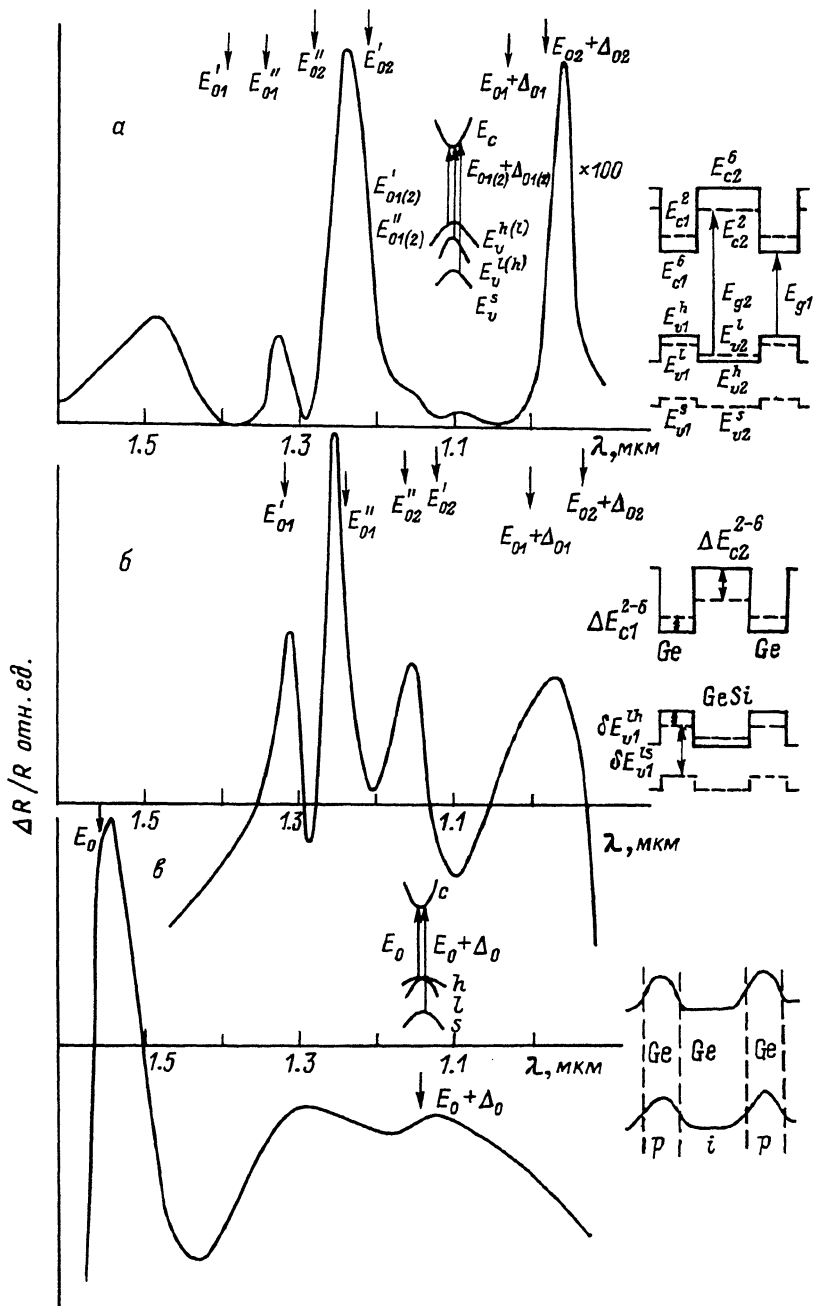


Рис. 1. Спектры электроотражения света и соответствующие им зонные энергетические диаграммы гетероэпитаксиальных (а, б) и гомоэпитаксиальной (в) сверхрешеток.

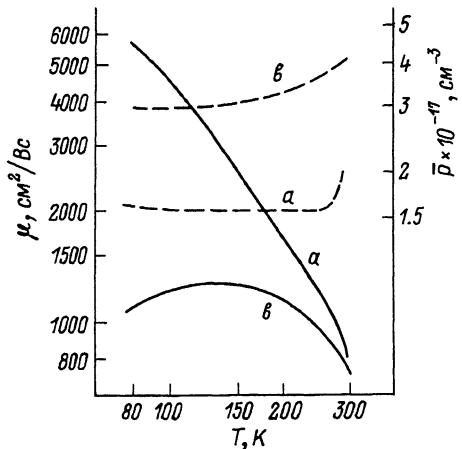


Рис. 2. Температурные зависимости холловской подвижности (сплошные линии) и концентрации дырок (штриховые линии) для гетероэпитаксиальной (а) и гомоэпитаксиальной (в) сверхрешеток.

ственno выявилась методом малоуглового клина при химическом травлении.

В СР на основе  $Si(Si - Si_{1-x}Ge_x)$  [2] электроны локализуются в слоях  $Si$ , дырки – в слоях твердого раствора, обнаруживая низкую дырочную подвижность вдоль плоскости роста структуры. В СР на основе  $Ge(Ge - Ge_{1-x}Si_x)$ , как следует из вида зонных диаграмм, приведенных на рис. 1, а, б, как электроны, так и дырки локализуются в слоях  $Ge$ . Поэтому в исследуемых структурах при селективном легировании слоев твердого раствора бором можно ожидать существенное увеличение дырочной подвижности при продольном транспорте. Механизм роста подвижности при этом связан как с разделением в пространстве свободных носителей заряда и центров рассеяния, так и с уменьшением эффективной массы дырок при расщеплении подзон вследствие упругой деформации слоев  $Ge$  [3]. Для проверки высказанных утверждений нами впервые было проведено исследование электрофизических характеристик СР  $Ge - Ge_{1-x}Si_x$  дырочного типа проводимости. СР в пределах периода селективно легировались бором примерно на половину толщины слоя твердого раствора (в его середине). При проведении холловских измерений в этих структурах наблюдался рост дырочной подвижности с понижением температуры, несмотря на достаточно высокую ( $\sim 10^{17} \text{ см}^{-3}$ ) концентрацию дырок в СР. Этот факт указывает на преобладание фононного механизма рассеяния носителей заряда в слоях  $Ge$ . Экспериментальная зависимость  $\mu_x$  от  $T$  для образца „а“ (рис. 1) приведена на рис. 2 (сплошная линия). Здесь же для сравнения представлена аналогичная кривая (в), полученная от гомоэпитаксиальной СР (обр. „в“, рис. 1). В гомоструктуре

дырки в основном локализуются в р-области, обусловливая иной ход зависимости  $M_x(T)$ , связанный с рассеянием на примесных атомах. Зависимости средней концентрации дырок  $\bar{p}$  по структуре от температуры для образцов „а“ и „в“ приведены на рис. 2 штриховыми линиями.

В заключение авторы выражают благодарность Ю.Н. Дроздову за предоставление рентгеноdifракционных данных по образцам и А.В. Кожухову за проведение масс-спектрометрического анализа.

### Список литературы

- [1] Gossard A.C. // IEEE Trans. Electron. Dev. 1982. V. 29. N 10. P. 1659.
- [2] Vandewalle C.G., Martin R.M. // Phys. Rev. B. 1986. V. 34. N 8. P. 5621.
- [3] Орлов Л.К., Кузнецов О.А. Тезисы докладов 19 Международной конференции по физике полупроводников. Варшава. 1988. №е-Р-68.

Поступило в Редакцию  
1 августа 1989 г.

Письма в ЖТФ, том 15, вып. 21

12 ноября 1989 г.

06.3; 12

### ПРОСТРАНСТВЕННЫЕ ХАРАКТЕРИСТИКИ ИЗЛУЧЕНИЯ *AlGaAs* - ГЕТЕРОЛАЗЕРОВ С ТОКОВЫМ ОГРАНИЧЕНИЕМ В РЕЖИМЕ ВНУТРЕННЕЙ МОДУЛЯЦИИ ДОБРОТНОСТИ

Е.Л. Портной, Н.М. Стельмак,  
А.В. Челноков

1. Настоящая работа продолжает наши исследования пикосекундных инжекционных лазеров, полученных глубокой имплантацией тяжелых ионов в зеркала резонатора [1, 2]. В таких лазерах в режиме внутренней модуляции добротности достигаются рекордные параметры по мощности и длительности генерируемых световых импульсов [2]. В работе показано, что насыщающийся поглотитель, находящийся вблизи зеркала лазерного резонатора, существенным образом влияет также и на пространственные характеристики излучаемого импульса.

Эффект изменения пространственных характеристик иллюстрирует рис. 1. Ввиду порогового характера просветления условия генерации достигаются лишь в области максимума интенсивности спонтанного излучения.